

УДК 519.19

## МАГНЕТИЗМ И БИРАДИКАЛОИДНЫЙ ХАРАКТЕР $\pi$ -АРОМАТИЧЕСКИХ И АНТИАРОМАТИЧЕСКИХ СИСТЕМ В СИЛЬНОМ МАГНИТНОМ ПОЛЕ

А.В. Лузанов

HTK "Институт монокристаллов" НАН Украины, Харьков  
E-mail: luzanov@xray.isc.kharkov.com

Статья поступила 26 мая 2012 г.

Развитая ранее схема полного конфигурационного взаимодействия для магнитных возмущений  $\pi$ -систем преобразована в схему вычислений в конечном поле. С ее помощью строятся "магнитные портреты" молекул, отражающие существенно нелинейное поведение сопряженных систем в сильном поле. В частности, легко фиксируется возможный скрытый парамагнетизм ароматических систем и соответственно скрытый диамагнетизм антиароматических. Оценена степень открытости  $\pi$ -электронной оболочки, а также синглет-триплетное расщепление в поле. Из полученных данных следует, что в сильном магнитном поле ароматическая молекула, как правило, становится бирадикалоидной и неароматической. Соответственно, антиароматическая система резко снижает свой первоначально бирадикалоидный характер и тем самым утрачивает свою антиароматичность.

**Ключевые слова:** диамагнетизм, парамагнетизм,  $\pi$ -электронная корреляция, число эффективно распаренных электронов, ароматичность.

### ВВЕДЕНИЕ

Молекулярные магнитные свойства играли фундаментальную роль с самого начала зарождения электронной теории ароматичности [ 1, 2 ]. В последнее время эта тенденция особенно усилилась благодаря оригинальному (хотя и спорному [ 3, 4 ]) подходу Шляйера [ 5 ] описывать локальную ароматичность с помощью так называемых индексов NICS. Изучение кольцевых токов в ароматических структурах также не потеряло своего значения. И хотя эта техника подвергается критике [ 6 ], тем не менее кольцевые токи — важный элемент теории ароматичности [ 7, 8 ] и общей теории химических сдвигов (относительно достижений неэмпирической квантовой химии см. обзоры [ 9, 10 ]). Существует, однако, и иной подход, в котором выходят за пределы привычных квадратичных по полулю эффектов (магнитные восприимчивости) и описывают более общий нелинейный магнетизм молекулы. На такую возможность давно указали Лабзовский и Лозовик, изучившие простыми методами поведение модельных  $\pi$ -систем в конечном магнитном поле [ 11 ]. Из последующих работ в этой области ограничимся лишь цитированием недавних статей [ 12–14 ]. В частности, в [ 14 ] методом конечного поля в рамках теории Хартри—Фока—Рутана изучена реальная энергетика сравнительно небольших ароматических систем в очень сильных магнитных полях.

Для больших ароматических структур подобные исследования даже на хартри-фоковском уровне крайне трудны, и не стоит сбрасывать со счетов классическую теорию Паризера—Парра—Поппа (PPP), которая наряду с методом Хюккеля дает достаточно содержательные модели электронных свойств  $\pi$ -систем [ 15 ]. Цель данной заметки — выяснить, какую картину

нелинейного магнетизма дает метод PPP с полным учетом  $\pi$ -электронной корреляции. Соответствующий подход будем обозначать как  $\pi$ -FCI (полный учет конфигурационного взаимодействия для  $\pi$ -электронов). Проведенные расчеты указывают на весьма специфическое поведение  $\pi$ -оболочек в сильном поле. Тем не менее возможна относительно простая интерпретация, которая в терминах теории бирадикальных системдается в данной статье.

### РАСЧЕТЫ МОЛЕКУЛ В КОНЕЧНОМ ПОЛЕ

Для вычисления нелинейной реакции  $\pi$ -системы на внешнее магнитное поле в работе был модифицирован прежний алгоритм  $\pi$ -FCI [ 16 ], разработанный для расчета магнитной восприимчивости и кольцевых  $\pi$ -токов в сопряженных системах. Как известно, в приближении Лондона [ 17 ] учет магнитного поля  $H$  сводится к замене одноэлектронной матрицы  $h = \|h_{\mu\nu}\|$  соответствующей матрицей  $h(H) = \|h_{\mu\nu}(H)\|$  в поле. В  $\pi$ -теории недиагональные элементы  $h_{\mu\nu}$  — это резонансные интегралы соседних углеродных атомов. Соответственно,  $h_{\mu\nu}(H) = \varepsilon_{\mu\nu}(H)h_{\mu\nu}$ , где  $\varepsilon_{\mu\nu}(H)$  — комплексный фазовый множитель, явно зависящий от  $H$  и геометрических факторов (подробнее см., например, [ 16—18 ]). Матрица  $h(H)$  входит составной частью в матрицу полного многоэлектронного гамильтониана молекулы.

В стандартных подходах к молекулярному магнетизму обычно применяют теорию возмущений и при работе с  $h_{\mu\nu}(H)$  учитывают члены первого и второго порядка по  $H$ . В контексте рассматриваемой задачи необходимо, однако, для каждого конечного значения поля непосредственно вычислять  $h_{\mu\nu}(H)$  и находить спектр более сложной комплекснозначной, но эрмитовой матрицы  $\pi$ -FCI больших размеров. Например, в упрощенных алгоритмах, игнорирующих симметрию, размерность собственного вектора задачи  $\pi$ -FCI для 12 электронов достигает  $\approx 10^6$  (в комплексной арифметике действительных чисел будет в 2 раза больше).

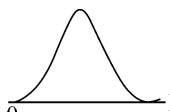
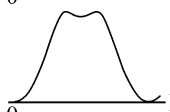
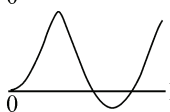
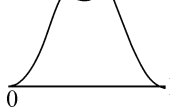
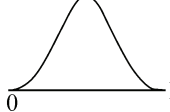
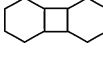
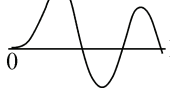
В табл. 1 и 2 приведены результаты расчетов ряда характерных представителей ароматических и антиароматических углеводородов. Полная энергия  $E(H)$  для удобства отсчитывается от ее значения  $E(0)$  в нулевом поле (т.е. реально берутся величины  $E(H) - E(0)$ ). В третьем столбце каждой из таблиц эти относительные величины даются (в некотором условном масштабе) в форме графиков зависимости  $E(H)$  от поля  $H$ . Кроме того, приводятся значения первых максимумов энергии  $E_{\max}$  (в табл. 1) и минимумов  $E_{\min}$  (в табл. 2) и соответствующих значений поля  $H_{\max}$  или  $H_{\min}$ . Все величины, кроме энергии синглет-триплетного расщепления, представлены в атомной системе единиц.

Практически все данные в табл. 1 и 2 относятся к схеме  $\pi$ -FCI. Только в табл. 2 для последней системы антикекулена с 36  $\pi$ -электронами мы вынуждены были ограничиться МО-результатами. Поскольку собственно метод Хюккеля имеет известные недостатки (неучет электронного взаимодействия и корреляции), то для получения более правдоподобных результатов использована "квазикорреляционная" хюккелевская модель, предложенная для альтернативных систем в [ 19 ]. По нашему опыту такая модель на полуколичественном уровне точности адекватна точному методу. В частности, расчеты показывают, что, как правило, на заданном интервале изменений магнитного поля среднеквадратичное значение величин разности магнитных энергий  $E[\text{FCI}] - E[\text{МО}]$  составляет  $\approx 10^{-3}$  (здесь и далее МО — это "квазикорреляционная" хюккелевская модель [ 19 ]). Большинство МО-результатов оставлено в статье "за кадром".

Обращаясь к таблицам, мы замечаем характерные отличия в  $\pi$ -магнитном поведении ароматических и антиароматических молекул. Ацены, такие как бензол и нафталин, являются диамагнитными ( $E(H) \geq 0$ ) при любом значении поля, а типичные антиароматические молекулы (цикlobутадиен, циклооктатетраен) парамагнитны ( $E(H) \leq 0$ ) при любом значении поля. В то же время некоторые заведомо ароматические молекулы, такие как азулен и бифенилен (структурная формула дана в табл. 1), обнаруживают явный парамагнетизм, но только в области очень больших значений поля (напомним, что атомная единица магнитного поля равна  $\approx 2,35 \cdot 10^5$  Тл). И наоборот, сильное поле нарушает существенно парамагнитное поведение сис-

Таблица 1

Зависимость  $\pi$ -энергии  $E(H)$  от магнитного поля (ат. ед.), эффективное число распаренных электронов  $N^{\text{eff}}$  и синглет-триплетное расщепление  $\lambda^{\text{ST}}$  (эВ), для ароматических систем

| Молекула  | $E_{\max}/H_{\max}$ | $E(H)$  | $N_0^{\text{eff}}$ | $N_{\max}^{\text{eff}}$ | $\lambda_0^{\text{ST}}$ | $\lambda_{\max}^{\text{ST}}$ |
|---|---------------------|---|--------------------|-------------------------|-------------------------|------------------------------|
| Бензол  | 0,0617/0,028        |    | 0,28               | 2,22                    | 3,30                    | 0,42                         |
| Нафталин  | 0,0690/0,021        |    | 0,51               | 1,78                    | 2,38                    | 0,50                         |
| Азулен  | 0,0287/0,013        |    | 0,67               | 1,81                    | 1,45                    | 0,08                         |
|    | 0,0655/0,035        |    | 0,66               | 1,91                    | 1,70                    | 0,08                         |
| Циклодекапентаен  | 0,0282/0,009        |   | 0,76               | 2,53                    | 1,78                    | 0,46                         |
|  | 0,0619/0,032        |  | 0,63               | 1,56                    | 1,84                    | 0,72                         |

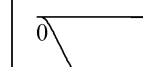
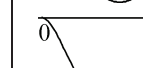
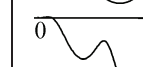
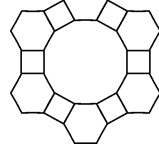
тем со слабой антиароматичностью, таких как индацен, бензоциклооктатетраен и антикекулен (три последние структуры приведены в табл. 2). В этом случае проявляется скрытый диамагнетизм, очевидно, обязаный присутствию бензольных колец. Проявляются, однако, и новые черты. Например, именно в диамагнитной области сильного поля свойство ароматичности может вообще утрачиваться, в чем мы убедимся в следующем разделе. В результате оказывается, что в магнитном поле произвольной величины нет привычной положительной взаимосвязи между  $\pi$ -диамагнетизмом и ароматичностью.

### ИНТЕРПРЕТАЦИЯ В ТЕРМИНАХ БИРАДИКАЛОИДНЫХ СОСТОЯНИЙ

Интерпретация полученных результатов в стандартных терминах электронной структуры (конфигурационного состава, порядков связи и т.п.) не столь проста. Действительно, в магнитном поле имеет место существенно комплексный характер всех величин, кроме наблюдаемых (таких как энергия). Однако в квантовой химии известно множество схем, позволяющих понять структуру молекулы с помощью различных инвариантов, в частности, с помощью наглядной характеристики — числа эффективно распаренных электронов [20—23]. Этот подход (индекс Такасуки—Фуэно—Ямагучи) и его варианты, как и несколько отличающийся подход Хэд—Гордона [24], нашли довольно широкое применение (см., например, [25—29]). Мы будем пользоваться индексом открытости электронной оболочки — числом  $N^{\text{eff}}$ , введенным в [30] (уравнение (59)). Он сконструирован на основе важной, но малоизвестной работы Кутзелнигга [31]. По определению,  $N^{\text{eff}}$  для синглетного состояния есть удвоенная сумма тех собственных чисел  $\lambda_j$  одноэлектронной бессpinовой матрицы плотности, которые появляются за счет корреляции:  $N^{\text{eff}} = 2 \sum_{j \geq n+1} \lambda_j$ . Здесь  $n$  — число электронных пар в синглетной молекуле. Для синглет-

Таблица 2

Зависимость  $\pi$ -энергии  $E(H)$  от магнитного поля (ат. ед.), эффективное число распаренных электронов  $N^{\text{eff}}$  и синглет-триплетное расщепление  $\lambda^{\text{ST}}$  (эВ), для антиароматических и слабо антиароматических систем

| Молекула  | $E_{\max}/H_{\max}$ | $E(H)$  | $N_0^{\text{eff}}$ | $N_{\min}^{\text{eff}}$ | $\lambda_0^{\text{ST}}$ | $\lambda_{\min}^{\text{ST}}$ |
|---|---------------------|---|--------------------|-------------------------|-------------------------|------------------------------|
| Циклобутадиен   | -0,1060/0,072       |    | 2,12               | 0,12                    | 3,23                    | 4,79                         |
| Циклооктатетраен  | -0,0406/0,015       |    | 2,38               | 0,50                    | 0,45                    | 2,43                         |
|    | -0,0134/0,022       |    | 1,07               | 0,72                    | 0,84                    | 1,77                         |
|    | -0,1305/0,061       |    | 1,07               | 0,81                    | 0,36                    | 1,88                         |
|    | -0,0213/0,048       |    | 1,04               | 0,76                    | 0,71                    | 1,75                         |
|  | -0,0088/0,010       |  | 1,07               | 0,95                    | 0,64                    | 0,83                         |
|  | -0,2386/0,009       |  | —                  | —                       | 1,47                    | 2,79                         |

ных состояний без патологий данный простой индекс тождественен индексу Хэд—Гордона из [ 24 ], введенному из других соображений.

Полезность величин типа  $N^{\text{eff}}$  состоит в том, что они дают меру радикального характера, который может возникать, например, в переходном состоянии молекулы. Для замкнутых электронных оболочек относительно небольшого размера в ситуациях, когда  $N^{\text{eff}} \approx 2$ , можно говорить о бирадикальном или, лучше, бирадикалоидном характере системы. Но и для равновесного "нормального" состояния всегда  $N^{\text{eff}} > 0$ . Ненулевые небольшие значения  $N^{\text{eff}}$  скорее говорят о динамической корреляции. К сожалению, этот индекс и все подобные меры открытости не различают эффекты динамической и нединамической корреляции. По сути же проблема остается нерешенной и для энергии корреляции, несмотря на основательное изучение проблемы в [ 32 ]. Тем не менее на практике индексы открытости электронной оболочки достаточно информативны. Отметим также, что в современной экспериментальной и теоретической химии бирадикальный характер циклических  $\pi$ -систем служит показателем их антиароматичности или, по крайней мере, их неароматичности [ 33—36 ].

Помимо величин, подобных  $N^{\text{eff}}$ , фиксирующих аномальное заполнение вакантных орбиталей, в теории бирадикалов широко применяются как разность энергий вакантной и заполнен-

ной МО, так и более корректная величина — синглет-триплетное расщепление  $\lambda^{\text{ST}}$  [35—40]. Мы будем пользоваться величиной  $\lambda^{\text{ST}}$ , полученной в рамках  $\pi$ -FCI. Только для молекулы антикулена (анализировался первый наиболее выразительный минимум) мы использовали в схеме МО разность граничных орбитальных энергий. Совместное применение  $N^{\text{eff}}$  и  $\lambda^{\text{ST}}$  ведет к хорошему контролю бирадикалоидного характера системы.

Результаты вычислений указанных величин даны в табл. 1 и 2, где  $N_0^{\text{eff}}$  отвечает значению  $N^{\text{eff}}$  в нормальном состоянии, т.е. без магнитного поля, а  $N_{\min}^{\text{eff}}$  и  $N_{\max}^{\text{eff}}$  — значениям в соответствующих точках  $H_{\min}$  и  $H_{\max}$ . Аналогичные обозначения использованы для  $\lambda^{\text{ST}}$ . Мы видим, что при  $H = 0$  типичные ароматические молекулы имеют, как и ожидалось, относительно небольшую меру открытости оболочки. Одновременно при  $H = 0$  заведомо антиароматические молекулы (особенно первые две системы в табл. 2) обладают, судя по  $N^{\text{eff}}$ , существенно бирадикалоидным характером. Положение резко изменяется, когда  $H$  достаточно велико — в максимуме для  $E(H)$  все ароматические системы оказываются синглетными бирадикалоидами. В то же время для антиароматических молекул в точках минимума  $E(H)$ , где параметрический характер системы лишь усиливается, бирадикальность падает, особенно сильно в моноциклической антиароматике. Заметим, что если изображать график  $N^{\text{eff}}(H)$ , то во многих случаях он довольно близок по форме к  $E(H)$ .

Из полученных данных можно прийти к казалось бы неожиданному выводу — в диамагнитной области значений поля типично ароматические системы полностью или частично утрачивают ароматичность вследствие усиления их бирадикального характера в сильном магнитном поле. Противоположная тенденция для антиароматических молекул означает, что в сильно параметрической области частично или полностью утрачивается их антиароматичность. Такое поведение согласуется, однако, и с простыми соображениями. Например, если ароматическая система заметно повышает свою энергию (как это и происходит в диамагнитной области), то потеря ароматичности не так уж удивительна, как не удивительно ослабление или исчезновение ароматичности при синглет-синглетном электронном переходе [41, 42]. Проще говоря, магнитное поле накачивает в ароматическую систему энергию, что ведет к распариванию электронных спинов, но по синглетному типу, диктуемому сохранением суммарного спина. Потеря антиароматичности за счет стабилизирующего понижения энергии параметрического состояния в поле также естественна. Она сопровождается спиновым спариванием, ведущим к более стабильной замкнутой оболочке  $\pi$ -электронов. Указанные тенденции имеют вполне общий характер. Например, для антиароматической системы бензоциклооктатетраена в максимальной диамагнитной точке имеет место дестабилизация бирадикального типа —  $N_{\max}^{\text{eff}} = 2,00$ .

Рассуждения выше о влиянии поля на синглетное спаривание косвенно согласуются с данными по синглет-триплетному расщеплению. Из таблиц мы видим, что переход в магнитном поле нормальной (небирадикалоидной) ароматической системы в бирадикалоидное состояние ( $N^{\text{eff}} \approx 2$  или несколько меньше) сопровождается весьма заметным уменьшением синглет-триплетного расщепления (см. последние два столбца табл. 1). И наоборот, ослабление бирадикалоидности в минимумах энергии антиароматических молекулах, т.е. для большинства систем из табл. 2, согласуется с четким повышением  $\lambda^{\text{ST}}$ . Только в небольшой молекуле циклобутадиена слишком большое значение  $\lambda_0^{\text{ST}} = 3,23$  эВ (без поля) плохо сообразуется с ее бирадикалоидным характером по критерию  $\lambda^{\text{ST}}$ , однако и этот пример подтверждает общую тенденцию повышать в поле  $\lambda^{\text{ST}}$  в случае антиароматических структур. При слабой антиароматичности, например, в индацене, все указанные эффекты, естественно, менее выразительны. В итоге мы констатируем, что в типичных случаях  $\pi$ -систем в магнитном поле критерий бирадикального характера по малости величины  $\lambda^{\text{ST}}$  согласуется с мерой бирадикалоидности, оцененной, например, с помощью  $N^{\text{eff}}$ . Тем самым данная выше интерпретация многоэлектронной природы сопряженных систем в сильном магнитном поле представляется достаточно обоснованной.

### ЗАКЛЮЧЕНИЕ

В настоящей работе изучены характерные сопряженные молекулы в рамках лондоновской схемы описания магнитного поля и с полным учетом  $\pi$ -электронной корреляции. Выясняется, что в достаточно сильном поле ароматические системы могут терять свою ароматичность, оставаясь диамагнитными по своему магнитному поведению. При этом их  $\pi$ -оболочка приобретает существенно бирадикальный характер. В случае антиароматических или близких к ним молекул первоначально бирадикалоидный характер системы может резко ослабеть именно в парамагнитной области сильного поля. Наглядные энергетические соображения проясняют все эти особенности. Таким образом, сильное магнитное поле в значительной мере разрушает привычную  $\pi$ -электронную структуру, какой сопряженная молекула обладает в нулевом поле. Разумеется, учет всей валентной оболочки может сгладить эффект в парамагнитной области поля особенно (из-за диамагнетизма более инертной  $\sigma$ -оболочки). Однако существенный нелинейный вклад  $\pi$ -электронов должен сохраниться. С этой точки зрения стоило бы проанализировать ставшие также популярными металлические кластеры ароматической или антиароматической природы [43, 44].

Отметим еще раз приемлемую (по отношению к  $\pi$ -FCI) точность квазикорреляционной МО-схемы [19] для описания нелинейных эффектов поля. Эта схема легко реализуется и для огромныхnanoструктур сопряженного типа. И все же квазикорреляционная модель, как, впрочем, и хартри-фоковская, не отражает тех необычных изменений электронной структуры, которые, как мы убедились, происходят с  $\pi$ -оболочкой в сильных полях. Поэтому при развитии данной тематики желательно привлечь эффективные, но более простые, чем  $\pi$ -FCI, методы учета  $\pi$ -электронной корреляции, например, такие, что разработаны в теории связанных кластеров. И, наконец, в контексте очерченных проблем представляет интерес изучение индексов ароматичности в поле, в том числе, индексов локальной ароматичности (см. статьи [41, 42] и ссылки в них).

Автор весьма признателен рецензенту за стимулирующую критику работы.

### СПИСОК ЛИТЕРАТУРЫ

1. Raman C.V., Krishnan K.S. // Proc. Roy. Soc. – 1927. – A**113**, N 765. – P. 511 – 519.
2. Pauling L. // J. Chem. Phys. – 1936. – **4**, N 10. – P. 673 – 677.
3. Aihara J.-I. // Chem. Phys. Lett. – 2002. – **365**, N 1-2. – P. 34 – 39.
4. Stanger A. // Chem. Commun. – 2009. – N 15. – P. 1939 – 1947.
5. Schleyer P.v.R., Jiao H. // Pure Appl. Chem. – 1996. – **68**, N 2. – P. 209 – 218.
6. Lazzeretti P. // Prog. Nucl. Magn. Res. Spectr. – 2000. – **36**, N 1. – P. 1 – 88.
7. Mitchell R.H. // Chem. Rev. – 2001. – **101**, N 5. – P. 1301 – 1315.
8. Gomes J.A.N.F., Mallion R.B. // Chem. Rev. – 2001. – **101**, N 5. – P. 1349 – 1383.
9. Aminova R.M. // Chemistry and Computational Simulation. Butlerov Communications. – 2002. – **6**, N 6. – P. 11 – 29.
10. Calculation of NMR and EPR Parameters / Eds. M. Kaupp, M. Bühl, V.G. Malkin. – Weinheim: Wiley, 2004.
11. Labzowsky L.N., Lozovik Y.E. // Int. J. Quantum. Chem. – 1973. – **7**, N 5. – P. 985 – 989.
12. Soncini A., Fowler P.W. // Chem. Phys. Lett. – 2004. – **400**, N 1-3. – P. 213 – 220.
13. Pagola G.I., Ferraro M.B., Lazzeretti P. // J. Chem. Theory Comput. – 2009. – **5**, N 11. – P. 3049 – 3049.
14. Tellgren E.I., Helgaker T., Soncini A. // Phys. Chem. Chem. Phys. – 2009. – **11**, N 26. – P. 5489 – 5498.
15. Kutzelnigg W. // J. Comput. Chem. – 2007. – **28**, N 1. – P. 25 – 34.
16. Luzanov A.V., Babich E.N., Ivanov V.V. // J. Mol. Struct. (Theochem). – 1994. – **311**. – P. 211 – 220.
17. London F. // J. Phys. Radium. – 1937. – **8**, N 10. – P. 397 – 409.
18. Пикок Т.Е. Электронные свойства ароматических и гетероциклических молекул. – М.: Мир, 1969.
19. Иванов В.В., Кисиль И.П., Лузанов А.В. // Журн. структур. химии. – 1996. – **37**, № 4. – С. 619 – 627.
20. Takatsuka K., Fueno T., Yamaguchi K. // Theor. Chim. Acta. – 1978. – **48**, N 3. – P. 175.
21. Staroverov V.N., Davidson E.R. // Chem. Phys. Lett. – 2000. – **330**, N 1-2. – P. 161 – 168.
22. Bochicchio R.C., Lain L., Torre A. // Chem. Phys. Lett. – 2003. – **374**, N 5-6. – P. 567 – 571.
23. Mayer I. // Chem. Phys. Lett. – 2007. – **440**, N 4-6. – P. 357 – 359.
24. Head-Gordon M. // Chem. Phys. Lett. – 2003. – **380**, N 3-4. – P. 488 – 489.

25. Staroverov V.N., Davidson E.R. // J. Amer. Chem. Soc. – 2000. – **122**, N 30. – P. 7377 – 7385.
26. Budzelaar P.H.M., de Bruin, B., Gal et al. // Inorg. Chem. – 2001. – **40**, N 18. – P. 4649 – 4655.
27. Hachmann. J., Dorando J.J., Aviles M. et al. // J. Chem. Phys. – 2007. – **127**, N 13. – C. 134309-1 – 134309-9.
28. Sheka E.F., Chernozatonskii L.A. // J. Exp. Theor. Phys. – 2010. – **110**, N 1. – P. 121 – 132.
29. Nakano M., Fukui H., Minami T. et al. // Theor. Chem. Acc. – 2011. – **130**, N 4-6. – P. 711 – 724.
30. Luzanov A.V., Zhikol O.A. // Int. J. Quantum Chem. – 2005. – **104**, N 2. – P. 167 – 180.
31. Kutzelnigg W., Smith V.H. // Int. J. Quantum Chem. – 1968. – **2**, N 4. – P. 531 – 552.
32. Mok D.K.W., Neumann R., Handy N.C. // J. Phys. Chem. – 1996. – **100**, N 15. – P. 6225 – 6230.
33. Wiberg K.B. // Chem. Rev. – 2001. – **101**, N 5. – P. 1317 – 1331.
34. Dias J.R. // Aust. J. Chem. – 2003. – **56**, N 12. – P. 1225 – 1232.
35. Kubo T., Sakamoto M., Nakasaji K. // Polyhedron. – 2005. – **24**, N 16-17. – P. 2522 – 2527.
36. Mills N.S. // Pure Appl. Chem. – 2012. – **84**, N 4. – P. 1101 – 1112.
37. Zilberg S., Haas Y. // J. Phys. Chem. A. – 1998. – **102**, N 52. – P. 10843 – 10850.
38. Poater J., Bickelhaupt F.M., Solà M. // J. Phys. Chem. A. – 2007. – **111**, N 23. – P. 5063 – 5070.
39. Konishi A., Hirao Y., Nakano M. et al. // J. Amer. Chem. Soc. – 2010. – **132**, N 32. – P. 11021 – 11023.
40. Motomura S., Nakano M., Fukui H. // Phys. Chem. Chem. Phys. – 2011. – **13**, N 46. – P. 20575 – 20583.
41. Feixas F., Vandenbussche J., Bultinck P. et al. // Phys. Chem. Chem. Phys. – 2011. – **13**, N 46. – P. 20690 – 20703.
42. Luzanov A.V. // Int. J. Quantum. Chem. – 2011. – **111**, N 10. – P. 2196 – 2220.
43. Boldyrev A.I., Wang L.S. // Chem. Rev. – 2005. – **105**, N 10. – P. 3716 – 3757.
44. Aromaticity and Metal Clusters / Ed. P.K. Chattaraj. – Boca Raton: Taylor & Francis, 2010.